

کنترل تطبیقی سیستم کنترل از راه دور با وجود نامعینی‌های دینامیکی و نامعینی در شتاب گرانشی

مسعود سیدسخا^۱، دانشجوی کارشناسی ارشد، حامد خراطی^۲، استادیار، فرزاد هاشم‌زاده^۳، استادیار

۱-۲-۳-دانشکده مهندسی برق و کامپیوتر-دانشگاه تبریز-تبریز-ایران

Email: m.seyedsakha92@ms.tabrizu.ac.ir¹, kharrati@tabrizu.ac.ir², hashemzadeh@tabrizu.ac.ir³

چکیده: در این مقاله به معرفی یک روش جدید در سیستم‌های کنترل از راه دور^۱ غیرخطی با وجود نامعینی‌های دینامیکی در هر دو طرف پایه^۲ و پیرو^۳ و همچنین نامعینی در شتاب گرانشی در طرف پیرو خواهیم پرداخت. چنین سیستمی می‌تواند در سیستم‌های فضایی که ربات پیرو در ارتفاع نامعینی در حال کار است و مقدار شتاب گرانشی در دسترس نیست یا به علت تفاوت در عرض جغرافیایی ربات‌های پایه و پیرو و به تبع آن تفاوت در شتاب گرانشی آن‌ها کاربرد داشته باشد. کنترل تطبیقی به کار گرفته شده از روش عکس گرادیان خطأ جهت قانون بهروزرسانی استفاده می‌کند. در این روش نیازی به دانستن کران نامعینی‌ها نیست. البته چنین سیستمی به تخمین دقیق پارامترهای دینامیکی ربات‌های پایه و پیرو و شتاب گرانشی نامعلوم منجر نخواهد شد ولی باعث کارکرد صحیح سیستم خواهد بود. بهمنظور نشان دادن کارکرد روش پیشنهادی، روش مربوطه بر روی ربات‌های دودرهج آزادی با تأخیر ثابت در کانال انتقال اطلاعات مورد بررسی قرار گرفته است.

واژه‌های کلیدی: کنترل تطبیقی، سیستم کنترل از راه دور، شتاب گرانشی، سنکرون‌سازی، تأخیر زمانی، نامعینی

Adaptive Control of Teleoperation System with Uncertainty in Dynamic Parameters and Gravitational Acceleration

M. Seyed Sakha¹, Master student, H. Kharrazi², Assistant professor, F. Hashemzadeh³, Assistant professor

1, 2 & 3- Faculty of Electrical and Computer Engineering, University of Tabriz, Tabriz, Iran
Email: m.seyedsakha92@ms.tabrizu.ac.ir¹, kharrati@tabrizu.ac.ir² and hashemzadeh@tabrizu.ac.ir³

Abstract: In this paper, a new method for nonlinear teleoperation system with uncertainty in dynamical parameters and gravitational acceleration is introduced. This system can be used in space teleoperation where the slave robot works on uncertain height with unknown gravitational acceleration. Also the proposed method can be used when the master and slave robot work on different latitude. In the adaptive controller which is used in this paper, the gradient descent method is used to update parameters. In the proposed method, the bound of unknown parameters is not used in the controller. The proposed method cannot estimate the parameters of the master and slave robots and the unknown gravitational acceleration but can cause a proper functioning of the system. To verify the efficiency of the proposed method, it is applied on 2-DOF planar robots with constant delays in the transmission channel.

Keywords: Adaptive control, teleoperation system, gravitational acceleration, synchronization, time delay, uncertainty

تاریخ ارسال مقاله: ۹۴/۳/۱۷

تاریخ اصلاح مقاله: ۹۴/۵/۱۸ و ۹۴/۶/۱۶ و ۹۴/۷/۱۱

تاریخ پذیرش مقاله: ۹۴/۹/۱۷

نام نویسنده مسئول: فرزاد هاشم‌زاده

نشانی نویسنده مسئول: ایران - تبریز - بلوار ۲۹ بهمن - دانشگاه تبریز - دانشکده مهندسی برق و کامپیوتر

۱- مقدمه

در مرجع [۹] یک کنترل کننده تطبیقی معرفی شده است که قادر به سنکرون‌سازی حالت و سرعت در حضور نامعینی‌های دینامیکی و کینماتیکی بدون حضور تأخیر در کanal انتقال اطلاعات است. در مرجع [۱۰] به طراحی کنترل فیدبک نیرو برای سیستم کنترل از راه دور غیرایدیه آل پرداخته است. در مرجع [۱۱] به ارائه یک روش تطبیقی جدید پرداخته و ایراد همگرایی متغیرهای حالت به صفر در مرجع [۸] را برطرف کرده است.

باتوجه به تعریف ماتریس رگرسور در مرجع [۱۱] کنترل کننده تطبیقی یادشده قادر به سنکرون‌سازی حالت در صورت نامعین بودن شتاب گرانشی در طرف پیرو نخواهد بود. در این مقاله با تعریف جدید ماتریس رگرسور و بردار تخمین پارامترها کنترل کننده تطبیقی مذکور قادر به سنکرون‌سازی سرعت و حالت در حضور نامعینی‌های دینامیکی و همچنین نامعینی شتاب گرانشی در طرف پیرو نیز خواهد بود.

۲- مدل غیرخطی سیستم کنترل از راه دور

مدل غیرخطی ربات‌های پایه و پیرو با مقاصد دورانی مطابق مرجع [۱۲] که توسط روابط لاغرائز به دست می‌آیند. به صورت زیر می‌باشد.

$$\begin{cases} M_m(q_m)\ddot{q}_m + C_m(q_m, \dot{q}_m)\dot{q}_m + G_m(q_m) = \tau_h - \tau_m \\ M_s(q_s)\ddot{q}_s + C_s(q_s, \dot{q}_s)\dot{q}_s + G_s(q_s) = \tau_s - \tau_e \end{cases} \quad (1)$$

در ابسطه بالا، q_m و q_s بیانگر مختصات تعیین‌یافته ربات‌های پایه و پیرو می‌باشند و τ_m و τ_s بیانگر گشتاورهای تعیین‌یافته اعمال شده بر روی ربات‌های پایه و پیرو بوده و τ_e بیانگر گشتاورهای اعمالی از طرف کاربر و محیط بر روی ربات‌های پایه و پیرو می‌باشند. ماتریس $C(q) \in \mathbb{R}^{n \times n}$ ماتریس اینرسی و ماتریس $G(q) \in \mathbb{R}^{n \times n}$ ماتریس از مؤلفه‌های سانتریفیوژ و کوریولیس بوده و $M(q) \in \mathbb{R}^{n \times n}$ ماتریس جاذبه است.

مدل دینامیکی داده شده در معادله (۱) دارای خواص مهم زیر است.

(۱) ماتریس M یک ماتریس متقارن و مثبت معین بوده و دارای باند-های بالا و پایین به فرم زیر است.

$$0 < \lambda_m \{M\} I \leq M(q) \leq \lambda_M \{M\} I < \infty$$

که در آن λ_m و λ_M به ترتیب بیانگر کوچک‌ترین و بزرگ‌ترین مقدار ویژه ماتریس M بوده و $I \in \mathbb{R}^{n \times n}$ ماتریس واحد است.

ب) ماتریس $M - 2C$ پادمتقارن است.
ج) همواره داریم:

$$\forall q, \dot{q} \in \mathbb{R}^n, \exists k_c \in \mathbb{R} > 0 \Rightarrow C(q, \dot{q})\dot{q} \leq k_c |\dot{q}|^2$$

د) معادله دینامیکی ربات قابل خطی سازی به فرم زیر است.
 $M(q)\ddot{q} + C(q, \dot{q})\dot{q} + G(q) = Y(q, \dot{q}, \ddot{q})$

قدمت استفاده از سیستم‌های کنترل از راه دور، به سال ۱۹۴۵ برمنی گردد. نمونه‌های اولیه این نوع ربات‌ها مکانیکی بوده و به منظور جایه‌جایی مواد رادیو اکتیو از پشت یک دیوار محافظت شده مورد استفاده قرار می‌گرفتند [۱]. امروزه کاربردهای فراوانی از سیستم‌های کنترل از راه دور وجود دارد که از آن جمله می‌توان به جراحی از راه دور، ربات‌های زیردریایی، ربات‌های فضایی، ربات‌های انسان نمای قابل کنترل از راه دور و غیره اشاره کرد.

تأخر زمانی در کanal انتقال اطلاعات سیستم‌های کنترل از راه دور، عامل اصلی ناپایداری و مسئله اصلی در طراحی کنترل کننده جهت پایدارسازی و افزایش میزان شفافیت در سیستم‌های کنترل از راه دور است. مسئله تأخیر زمانی در سیستم‌های کنترل از راه دور، اولین بار در سال ۱۹۶۸ در [۲] مورد بررسی قرار گرفت.

با فرض خطی بودن مدل‌های ربات‌های پایه و پیرو، می‌توان از تبدیل لایپلاس جهت بیان ارتباط بین نیروی وارد شده به ربات و سرعت ربات، که این ارتباط در فضای لایپلاس به صورت خطی بیان می‌شود، استفاده کرد. با این پیش‌فرض خطی بودن، سیستم کنترل از راه دور شامل ربات پایه، ربات پیرو، کنترل کننده‌های آن‌ها و کanal انتقال اطلاعات، از اواخر دهه ۸۰ میلادی به صورت شبکه دوقطبی مدل شده است [۳]. این شبکه بین کاربر و محیط کاری قرار می‌گیرد و مزیت عمده این نوع مدل‌سازی در تحلیل پایداری توسط قضیه غیرفعال بودن است [۴].

در مراجع [۵] و [۶] برای اولین بار از روش متغیرهای موج برای حل مسئله کنترل از راه دور با تأخیر موجود در کanal انتقال اطلاعات استفاده شده است. درواقع در این مراجع مسئله کنترل از راه دور را تا حد مسئله خطوط انتقال تقلیل داده و راه حلی برای غیرفعال کردن آن ارائه داده‌اند.

در مرجع [۷] یک کنترل کننده P+D برای سیستم کنترل از راه دور پیشنهاد شده و رابطه‌ای برای حداقل تأخیر مجاز در سیستم ارائه شده است.

در مرجع [۸] پایداری سیستم کنترل از راه دور غیرخطی را بدون استفاده از متغیرهای موج و با استفاده از روش غیرفعال بودن و انتخاب مناسب ورودی و خروجی بررسی کرده است. سپس با فرض عدم اطلاع از مقادیر دقیق پارامترهای ربات‌های پایه و پیرو، با استفاده از مقادیر تخمینی آن‌ها و با تعریف کنترل کننده تطبیقی، به بررسی سنکرون‌سازی رفتار ربات‌های پایه و پیرو می‌پردازند. سنکرون‌سازی به مفهوم پایداری مجذوبی خطای موجود بین سیگنال‌های تأخیری‌افتہ ربات‌های پایه و پیرو و بر عکس اطلاق می‌شود.

$$\bar{\tau}_i = K_i r_i - B e_i \quad (5)$$

که در آن K_i ماتریس ثابت، مثبت معین و متقارن و B نیز ماتریس ثابت، مثبت معین و قطری است. و r_i سیگنال‌های سنکرون‌ساز بوده و به صورت زیر تعریف می‌شود:

$$r_i = \dot{q}_i - \lambda e_i \quad (6)$$

حال روابط خطی سازی به فرم زیر را در نظر می‌گیریم:

$$\begin{cases} Y_m \hat{\theta}_m = -\hat{M}_m(q_m) \lambda \dot{e}_m - \hat{C}_m(q_m, \dot{q}_m) \lambda e_m - g_m \hat{G}_{0m}(q_m) \\ Y_s \hat{\theta}_s = -\hat{M}_s(q_s) \lambda \dot{e}_s - \hat{C}_s(q_s, \dot{q}_s) \lambda e_s - g_s \hat{G}_{0s}(q_s) \end{cases} \quad (7)$$

که در آن $\hat{\theta}$ تخمینی از بردار θ است. با جایگذاری رابطه (7) در رابطه (4) داریم:

$$\begin{cases} \tau_m = Y_m(q_m, \dot{q}_m, e_m, \dot{e}_m, g_m) \hat{\theta}_m + \bar{\tau}_m \\ \tau_s = -Y_s(q_s, \dot{q}_s, e_s, \dot{e}_s) \hat{\theta}_s - \bar{\tau}_s \end{cases} \quad (8)$$

با استفاده از رابطه (6) و مشتق‌گیری از آن داریم:

$$\begin{cases} \dot{q}_i = r_i + \lambda e_i \\ \ddot{q}_i = \dot{r}_i + \lambda \dot{e}_i \end{cases} \quad (9)$$

با جایگذاری رابطه (9) در رابطه (1) و خطی سازی دینامیک مربوطه و استفاده از رابطه (7) (رابطه زیر به دست می‌آید):

$$\begin{cases} M_m(q_m) \ddot{r}_m + C_m(q_m, \dot{q}_m) \dot{r}_m = Y_m \hat{\theta}_m - \bar{\tau}_m + \tau_b \\ M_s(q_s) \ddot{r}_s + C_s(q_s, \dot{q}_s) \dot{r}_s = Y_s \hat{\theta}_s - \bar{\tau}_s + \tau_b \end{cases} \quad (10)$$

که در آن $\hat{\theta}_i = \theta_i - \bar{\theta}_i$ خطای تخمین است.

در ادامه اثبات می‌شود که با در نظر گرفتن دینامیک خطای تخمین به روش عکس گرادیان به فرم رابطه (11) سنکرون‌سازی حالت ربات‌های پایه و پیرو تضمین می‌شود.

$$\dot{\hat{\theta}}_i = -\Gamma_i Y_i^T \tau_i \quad (11)$$

که در آن Γ_i ماتریس ثابت و مثبت معین است. با توجه به اینکه تغییرات پارامترهای ربات‌های پایه و پیرو ناچیز است. پس می‌توان $\dot{\hat{\theta}}_i = 0$ فرض کرد. پس قانون بهروزرسانی پارامترهای ربات به صورت $\dot{\hat{\theta}}_i = -\dot{\hat{\theta}}_i$ بوده و از رابطه زیر به دست می‌آید:

$$\dot{\hat{\theta}}_i = \Gamma_i Y_i^T \tau_i \quad (12)$$

۴- اثبات پایداری و سنکرون‌سازی سیستم کنترل از راه دور سیستم کنترل از راه دور داده شده در معادله (1) را در حالت حرکت آزاد ($\tau_b = 0$) در نظر بگیرید. با در نظر گرفتن سیگنال‌های کنترلی داده شده در معادله (4) و قانون بهروزرسانی داده شده در معادله (11) و برای هر تأخیر زمانی ثابت می‌توان نشان داد که تمامی سیگنال‌های سیستم محدود بوده و همچنین سرعت و خطای مکان ربات‌ها به صورت مجانبی به صفر میل می‌کند ($t \rightarrow \infty \Rightarrow |\dot{e}_i| \rightarrow 0, |\ddot{q}_i| \rightarrow 0$).

برای این منظورتابع کاندیدای لیپاونوف-کراسوفسکی^۱ را مشابه [۹] به صورت زیر در نظر می‌گیریم:

$$V = \frac{1}{2} \sum_{i=m,s} [r_i^T M_i r_i + \hat{\theta}_i^T \Gamma_i^{-1} \hat{\theta}_i + e_i^T \lambda B e_i + \int_{-T}^0 q_i^T B \dot{q}_i d\sigma] \quad (13)$$

حال با مشتق‌گیری از رابطه (13) نسبت به زمان داریم:

که در آن $Y(q, \dot{q}, \ddot{q}) \in \mathbb{R}^{n \times p}$ ماتریس رگرسور بوده و $\theta \in \mathbb{R}^p$ شامل پارامترهای نامعین ربات است.

۳- کنترل کننده تطبیقی پیشنهادی در حالت حرکت آزاد

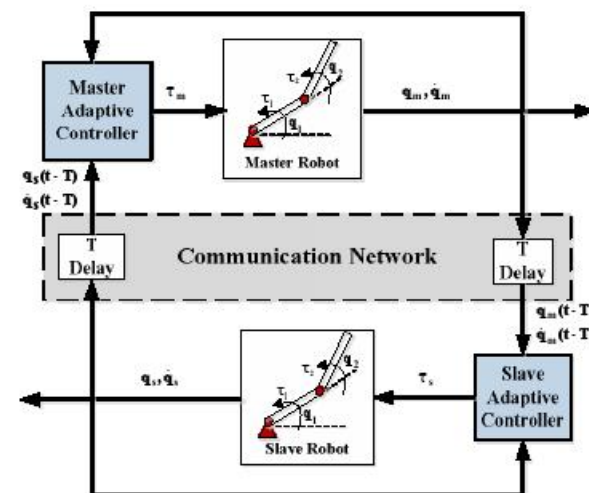
$$(\tau_e = 0)$$

شماییک سیستم کنترل از راه دور در شکل ۱ نشان داده شده است.

ابتدا بردارهای خطای موقعیت $e \in \mathbb{R}^n$ مطابق مرجع [۷] را به صورت زیر در نظر می‌گیریم.

$$\begin{cases} e_m = q_m(t-T) - q_m \\ e_s = q_m(t-T) - q_s \end{cases} \quad (2)$$

که در آن T تأخیر زمانی کanal انتقال اطلاعات است.



شکل ۱: سیستم کنترل از راه دور با تأخیر ثابت با زمان

همچنین ماتریس‌های جاذبه در طرف ربات‌های پایه و پیرو را به فرم زیر در نظر می‌گیریم (اثبات در پیوست):

$$\begin{cases} G_m(q_m) = g_m G_{0m}(q_m) \\ G_s(q_s) = g_s G_{0s}(q_s) \end{cases} \quad (3)$$

که در آن g_m و g_s به ترتیب شتاب گرانشی در طرف ربات‌های پایه و پیرو می‌باشند. بهمنظور تطبیقی بودن کنترل کننده مربوطه، سیگنال‌های کنترلی ربات‌های پایه و پیرو را به صورت زیر در نظر می‌گیریم.

$$\begin{cases} \tau_m = -(\hat{M}_m(q_m) \lambda \dot{e}_m + \hat{C}_m(q_m, \dot{q}_m) \lambda e_m + g_m \hat{G}_{0m}(q_m) - \bar{\tau}_m) \\ \tau_s = \hat{M}_s(q_s) \lambda \dot{e}_s + \hat{C}_s(q_s, \dot{q}_s) \lambda e_s + g_s \hat{G}_{0s}(q_s) - \bar{\tau}_s \end{cases} \quad (4)$$

که در آن \hat{M}_i ، \hat{C}_i و \hat{G}_{0i} ($i = m, s$) تخمینی از M_i ، C_i و G_{0i} بوده و \hat{G}_i تخمینی از شتاب گرانش در طرف ربات پیرو است. هم یک ماتریس ثابت، قطری و مثبت معین است. $\bar{\tau}_i$ ها نیز گشتاورهای کنترلی جدید بوده و به صورت زیر تعریف می‌شوند:

با توجه به آن که در رابطه خطی بالا $\mathbf{L}_2 \in \mathbf{r}$ است. می‌توان از رابطه (۲۰) تبدیل لاپلاس گرفت.

$$\begin{cases} \mathbf{Z}_1(s) = [s\mathbf{I}_n + \lambda(1 - e^{-Ts})]^{-1}(\mathbf{d}_1 \otimes \mathbf{I}_n)\mathbf{r} \\ \mathbf{Z}_2(s) = [s\mathbf{I}_n - \lambda(1 + e^{-Ts})]^{-1}(\mathbf{d}_2 \otimes \mathbf{I}_n)\mathbf{r} \end{cases} \quad (21)$$

برای سیستم \mathbf{z}_1 و با استفاده از قضیه مقدار نهایی و بعد استفاده از قاعده هوپیتال به فرم زیر داریم:

$$\lim_{t \rightarrow \infty} \dot{\mathbf{z}}_1(t) = \lim_{s \rightarrow 0} s^2 \mathbf{Z}_1(s) \quad (22)$$

$$\begin{aligned} \lim_{s \rightarrow 0} s^2 \mathbf{Z}(s) &= \lim_{s \rightarrow 0} s^2 [s\mathbf{I}_n + \lambda(1 - e^{-Ts})]^{-1}(\mathbf{d}_1 \otimes \mathbf{I}_n)\mathbf{r}(s) \\ &= \lim_{s \rightarrow 0} s[s\mathbf{I}_n + \lambda(1 - e^{-Ts})]^{-1} \lim_{s \rightarrow 0} (\mathbf{d}_1 \otimes \mathbf{I}_n)\mathbf{s}\mathbf{r}(s) \end{aligned} \quad (23)$$

حد دوم رابطه (۲۳) صفر بوده و حد اول آن نیز بعد از استفاده از قاعده هوپیتال به صورت $(\mathbf{I}_n + \lambda T)^{-1}$ به دست می‌آید که محدود نیز است. پس می‌توان گفت $\lim_{t \rightarrow \infty} \dot{\mathbf{z}}_1(t) = 0$ برای $\dot{\mathbf{z}}_2(t)$ نیز مشابه $\dot{\mathbf{z}}_1(t)$ اثبات می‌شود که عبارتی $\lim_{t \rightarrow \infty} \dot{\mathbf{z}}_2(t) = 0$ به این که $\mathbf{z} = \mathbf{T}\mathbf{q}$ و $\lim_{t \rightarrow \infty} \dot{\mathbf{z}}(t) = 0$ با توجه به این که داریم $\lim_{t \rightarrow \infty} \dot{\mathbf{q}}(t) = 0$ حال با توجه به رابطه (۶) و $\lim_{t \rightarrow \infty} |\dot{\mathbf{q}}(t)| \rightarrow 0$ سنکرون‌سازی حالت نیز اثبات می‌شود.

۵- شبیه‌سازی

برای شبیه‌سازی از دو ربات دولینکه با مفصل‌های دورانی در طرفهای پایه و پیرو که در رابطه (۱) مدل شده است استفاده کرده‌ایم. ربات پایه دارای نامعینی‌های دینامیکی و ربات پیرو علاوه بر نامعینی دینامیکی دارای نامعینی در ضریب شتاب گرانش نیز است. ماتریس‌های \mathbf{M}_i و \mathbf{G}_i و \mathbf{C}_i ربات‌ها به فرم زیر می‌باشند ($i = m, s$) :

$$\begin{aligned} \mathbf{M}_i &= \begin{bmatrix} m_1 l_1^2 + M_i l_1^2 & 2m_1 l_1 l_2 c_{1i} & m_2 l_1^2 + m_2 l_1 l_2 c_{2i} \\ m_2 l_1^2 + m_2 l_1 l_2 c_{2i} & m_1 l_2^2 & \end{bmatrix} \\ \mathbf{C}_i &= \begin{bmatrix} -2m_1 l_1 l_2 s_{1i} \dot{q}_{1i} & -m_2 l_1 l_2 s_{2i} \dot{q}_{2i} \\ m_2 l_1 l_2 s_{2i} \dot{q}_{2i} & 0 \end{bmatrix} \\ \mathbf{G}_i &= \begin{bmatrix} m_1 l_2 c_{12i} + M_i l_2 c_{1i} \\ m_2 l_2 c_{12i} \end{bmatrix} \end{aligned} \quad (24)$$

که در آن m_i و l_{ki} به ترتیب جرم و طول لینک k ام ربات i در آن و $M_i = m_{1i} + m_{2i}$ و $k \in \{1, 2\}$ جمع جرم لینک‌های ربات بوده و s_{1i} و s_{2i} به ترتیب علامت‌های اختصاری ($\cos(q_{1i}), \cos(q_{2i}), \cos(q_{1i} + q_{2i}), \cos(q_{2i})$ و $\sin(q_{1i} + q_{2i})$) است.

حال ماتریس‌های رگرسور \mathbf{Y}_i به فرم رابطه (۲۵) و بردارهای تخمین پارامترهای ربات i را به فرم رابطه (۲۶) در نظر می‌گیریم.

$$\mathbf{Y}_i = \begin{bmatrix} y_{11i} & y_{12i} & y_{13i} & y_{14i} & y_{15i} \\ y_{21i} & y_{22i} & 0 & y_{24i} & 0 \end{bmatrix} \quad (25)$$

که در آن داریم:

$$\begin{aligned} \dot{\mathbf{V}} &= \frac{1}{2} \sum_{i \in \{m, s\}} \left[2\mathbf{r}_i^T \mathbf{M}_i \dot{\mathbf{r}}_i + \mathbf{r}_i^T \mathbf{M}_i \dot{\mathbf{r}}_i + 2\dot{\mathbf{q}}_i^T \Gamma_i^{-1} \dot{\mathbf{q}}_i + 2\mathbf{q}_i^T \lambda \mathbf{B} \dot{\mathbf{q}}_i \right. \\ &\quad \left. + \dot{\mathbf{q}}_i^T (\mathbf{r}) \mathbf{B} \dot{\mathbf{q}}_i(t) - \dot{\mathbf{q}}_i^T (t-T) \mathbf{B} \dot{\mathbf{q}}_i(t-T) \right] \end{aligned} \quad (14)$$

با جایگذاری $\dot{\mathbf{r}}_i$ و $\dot{\mathbf{q}}_i$ از روابط (۱۰) و (۱۱) و سپس جایگذاری \mathbf{r}_i و \mathbf{q}_i از رابطه (۵) و (۶) داریم:

$$\begin{aligned} \dot{\mathbf{V}} &= \sum_{i \in \{m, s\}} [-\mathbf{r}_i^T \mathbf{K}_i \mathbf{r}_i + \dot{\mathbf{q}}_i^T \mathbf{B} \dot{\mathbf{q}}_i + \frac{1}{2} \dot{\mathbf{q}}_i^T \mathbf{B} \dot{\mathbf{q}}_i \\ &\quad - \frac{1}{2} \dot{\mathbf{q}}_i^T (t-T) \mathbf{B} \dot{\mathbf{q}}_i(t-T)] \end{aligned} \quad (15)$$

با استفاده از رابطه (۲) و مقداری ساده‌سازی داریم:

$$\dot{\mathbf{V}} = - \sum_{i \in \{m, s\}} [\mathbf{r}_i^T \mathbf{K}_i \mathbf{r}_i + \frac{1}{2} \dot{\mathbf{q}}_i^T \mathbf{B} \dot{\mathbf{q}}_i] \quad (16)$$

با توجه به رابطه (۱۳) و این که $\dot{\mathbf{V}} \leq 0$ می‌توان نتیجه گرفت $\mathbf{r}_i, \dot{\mathbf{q}}_i \in \mathcal{L}_\infty$ از طرفی با انتگرال‌گیری از رابطه (۱۶) و میل $t \rightarrow \infty$ می‌توان گفت $\mathbf{r}_i, \dot{\mathbf{q}}_i \in \mathcal{L}_2$ حال با استفاده از رابطه‌های (۲)، (۵) و (۶) و فرض‌های آ و ب و رابطه (۱۰) داریم $\dot{\mathbf{q}}_i, \mathbf{q}_i, \mathbf{r}_i, \mathbf{Y}_i \in \mathcal{L}_\infty$. با مشتق‌گیری از رابطه (۶) می‌توان به این نتیجه رسید که $\dot{\mathbf{q}}_i \in \mathcal{L}_\infty$ در نهایت با دو بار مشتق‌گیری از رابطه (۲) داریم $\dot{\mathbf{q}}_i \in \mathcal{L}_2$ حال با استفاده از آن \mathbf{r} بارهای و پیرو اثبات می‌شود. با توجه به رابطه (۶) برای اثبات سنکرون‌سازی حالت $(\mathbf{z} \rightarrow 0)$ کافی است اثبات کنیم $|\dot{\mathbf{q}}_i| \rightarrow 0$ برای این کار با استفاده از روابط (۲) و (۶) داریم:

$$\dot{\mathbf{q}} = -(\mathbf{I}_2 \otimes \lambda)\mathbf{q} + (\mathbf{H}_2 \otimes \lambda)\mathbf{q}(t-T) + \mathbf{r} \quad (17)$$

که در آن \mathbf{I}_2 ماتریس واحد به ابعاد ۲ و $\mathbf{H}_2 = \begin{bmatrix} 0 & 1 \\ 1 & 0 \end{bmatrix}$ و

$$\mathbf{r} = [\mathbf{r}_m^T, \mathbf{r}_s^T]^T \text{ و } \dot{\mathbf{q}} = [\dot{\mathbf{q}}_m^T, \dot{\mathbf{q}}_s^T]^T$$

حال با استفاده از تغییر متغیر $\mathbf{z} = \mathbf{T}\mathbf{q}$ به معادله زیر می‌رسیم:

$$\dot{\mathbf{z}} = \mathbf{T}(\mathbf{H}_2 \otimes \lambda)\mathbf{T}^{-1}\mathbf{z}(t-T) - \mathbf{T}(\mathbf{I}_2 \otimes \lambda)\mathbf{T}^{-1}\mathbf{z} + \mathbf{T}\mathbf{r} \quad (18)$$

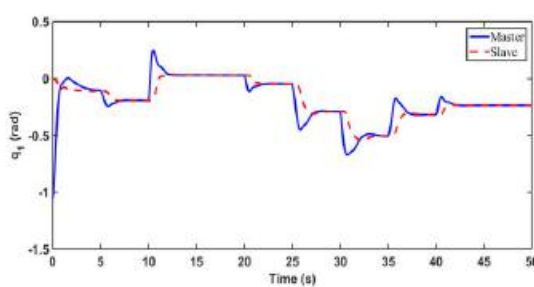
با انتخاب $\mathbf{T} = \mathbf{D} \otimes \mathbf{I}_n$ که در آن \mathbf{I}_n ماتریس واحد به ابعاد n درجه آزادی ربات است) و فرض $\mathbf{D} = \mathbf{D}^{-1}$ و استفاده از قوانین ضرب کروناکر رابطه زیر به دست می‌آید:

$$\dot{\mathbf{z}} = [(\mathbf{D} \mathbf{H}_2 \mathbf{D}^{-1}) \otimes \lambda]\mathbf{z}(t-T) - (\mathbf{I}_2 \otimes \lambda)\mathbf{z} + (\mathbf{D} \otimes \mathbf{I}_n)\mathbf{r} \quad (19)$$

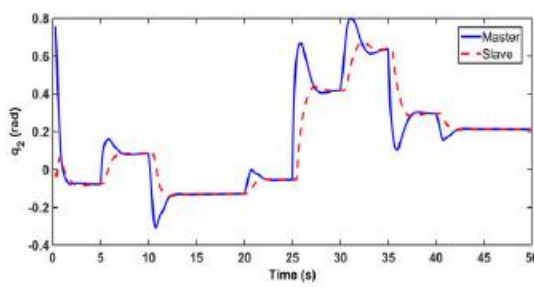
حال با فرض $\mathbf{D} = \frac{1}{\sqrt{2}} \begin{bmatrix} 1 & 1 \\ 1 & -1 \end{bmatrix}$ می‌توان سیستم بالا را به دو سیستم دکوپله از درجه n به فرم زیر تبدیل کرد:

$$\begin{cases} \dot{\mathbf{z}}_1 = -\lambda[\mathbf{z}_1(t) - \mathbf{z}_1(t-T)] + (\mathbf{d}_1 \otimes \mathbf{I}_n)\mathbf{r} \\ \dot{\mathbf{z}}_2 = -\lambda[\mathbf{z}_2(t) + \mathbf{z}_2(t-T)] + (\mathbf{d}_2 \otimes \mathbf{I}_n)\mathbf{r} \end{cases} \quad (20)$$

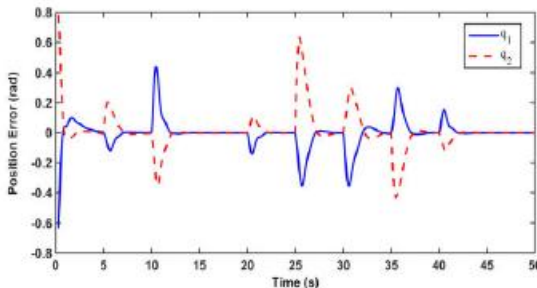
که در آن \mathbf{d}_1 و \mathbf{d}_2 به ترتیب سطر اول و دوم ماتریس \mathbf{D} هستند



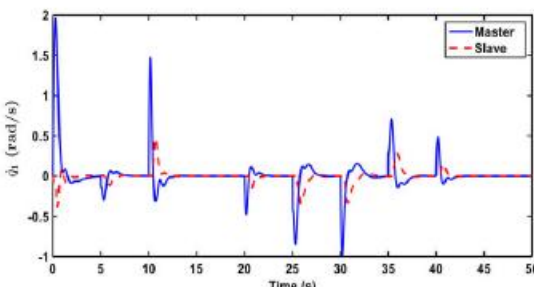
شکل ۳: موقعیت مفصل اول ربات‌های پایه و پیرو



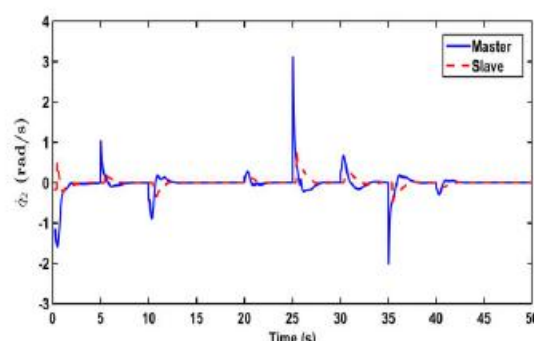
شکل ۴: موقعیت مفصل دوم ربات‌های پایه و پیرو



شکل ۵: خطای ردیابی موقعیت مفاصل ربات‌های پایه و پیرو



شکل ۶: سرعت زاویه‌ای مفصل اول ربات‌های پایه و پیرو



شکل ۷: سرعت زاویه‌ای مفصل دوم ربات‌های پایه و پیرو

$$\begin{aligned} y_{11_i} &= y_{21_i} = -\lambda_0(\dot{\theta}_{1_i} + \dot{\theta}_{2_i}) \\ y_{12_i} &= -\lambda_0(2c_{2_i}\dot{\theta}_{1_i} + c_{2_i}\dot{\theta}_{2_i} - 2s_{2_i}\dot{q}_{2_i}\theta_{1_i} - s_{2_i}\dot{q}_{2_i}\theta_{2_i}) \\ y_{13_i} &= -\lambda_0\dot{\theta}_{1_i} \\ y_{22_i} &= -(c_{2_i}\dot{\theta}_{1_i} + s_{2_i}\dot{q}_{2_i}\theta_{1_i}) \\ y_{14_m} &= y_{24_m} = -g_m c_{12_m}, y_{14_s} = y_{24_s} = -c_{12_s} \\ y_{15_m} &= -g_m c_{1_m}, y_{15_s} = -c_{1_s} \end{aligned}$$

۹

$$\hat{\boldsymbol{\theta}}_i = [\hat{m}_1 \hat{l}_{2_i}^2 \quad \hat{m}_2 \hat{l}_{1_i} \hat{l}_{2_i} \quad \hat{M} \hat{l}_{1_i}^2 \quad \hat{\theta}_{4_i} \quad \hat{\theta}_{5_i}]^T \quad (26)$$

که در آن داریم:

$$\hat{\theta}_{4_m} = \hat{m}_2 \hat{l}_{2_m}, \hat{\theta}_{4_s} = \hat{g}_s \hat{m}_2 \hat{l}_{2_s}$$

$$\hat{\theta}_{5_m} = \hat{M}_m \hat{l}_{1_m}, \hat{\theta}_{5_s} = \hat{g}_s \hat{M}_s \hat{l}_{1_s}$$

برای شبیه‌سازی از ربات‌هایی با لینک‌هایی به طول

برای هر دو طرف پایه و پیرو و جرم لینک‌هایی به

 $m_{1m} = 3/1472\text{kg}$ و $m_{1s} = 3/2409\text{kg}$ برای طرف پایه و $m_{2m} = 4/222\text{kg}$ و $m_{2s} = 3/185\text{kg}$ در طرف پایه $g_m = 9/8\text{g}$ و برای طرف پیرو $g_s = 9\text{g}$ فرض شده است.بهره‌های کنترل کننده $B = B_0 I$ و $K_i = k_0 I$ با $k_0 = 3$ و $B_0 = 1$ و $I = 3$ تخمین $\Gamma_i = \Gamma_0$ با $\Gamma_0 = 1/25\text{I}$ بوده و ماتریس $\lambda = \lambda_0 I$ با $\lambda_0 = 1$ انتخاب شده است. مقدار تأخیر هم برای مسیر رفت و همبرگشت به مقدار $T = 0/4\text{s}$ در نظر گرفته شده است. شتاب گرانشی

به کنترل کننده اولیه هم داده شده است. شتاب اولیه هم

$$\ddot{\boldsymbol{\theta}}_i(0) = [0, 0]^T \quad \ddot{\boldsymbol{q}}_i(0) = \ddot{\boldsymbol{q}}_i(0) = 0$$

پارامترهای اولیه داده شده به کنترل کننده‌ها

برای هر دو طرف پایه و پیرو و $m_{1m} = 4\text{kg}$ و $m_{1s} = 4\text{kg}$ برایکنترل کننده طرف پایه و $m_{2m} = 3\text{kg}$ و $m_{2s} = 3\text{kg}$ برای

کنترل کننده طرف پیرو در نظر گرفته شده است. شتاب گرانشی اولیه

داده شده به کنترل کننده‌ها نیز برای هر دو طرف پایه و پیرو

است.

شکل‌های ۳، ۴ و ۵ به ترتیب همگرایی موقعیت مفاصل های اول و

دوم ربات‌های پایه و پیرو و خطای همگرایی موقعیت و شکل‌های ۶، ۷ و

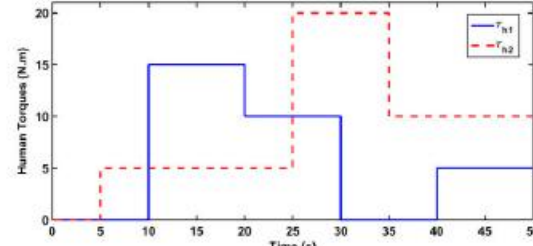
۸ به ترتیب همگرایی سرعت مفاصل های اول و دوم ربات‌های پایه و پیرو

و خطای همگرایی سرعت را زمانی که کاربر گشتاوری مطابق شکل ۲ را

به ربات پایه وارد می‌کند نشان می‌دهد. و شکل‌های ۹ و ۱۰ تخمین

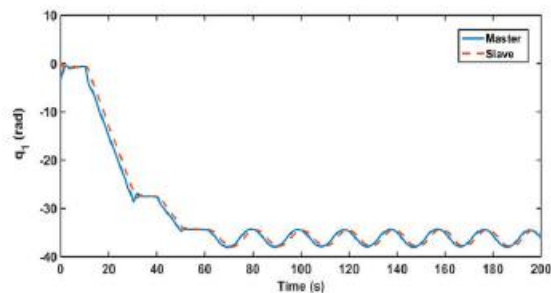
پارامترهای ربات‌های پایه و پیرو و همگرایی آن‌ها به یک مقدار ثابت را

بعد از شناسایی سیستم نشان می‌دهد.

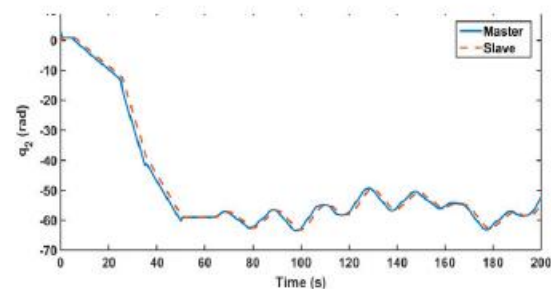


شکل ۲: گشتاور وارد شده از طرف کاربر بر ربات پایه

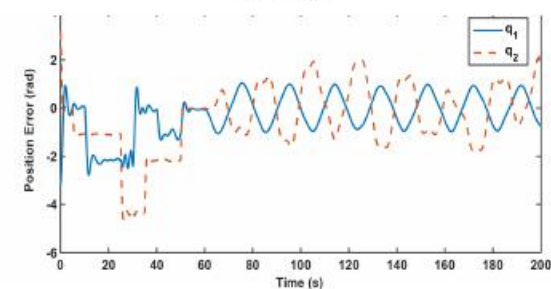
با توجه به شکل‌های ۱۲، ۱۳ و ۱۴ دیده می‌شود که کنترل کننده P+D نیاز به مقادیر دقیق پارامترهای دینامیکی ربات‌های پایه و پیرو و همچنین شتاب گرانشی در دو طرف پایه و پیرو دارد و در غیر این صورت قادر به سنکرون‌سازی حالت نیست. در حالی که کنترل کننده تطبیقی پیشنهادی با استفاده از یک فرض اولیه از پارامترهای دینامیکی ربات‌ها و همچنین شتاب‌های گرانشی مربوطه باعث سنکرون‌سازی حالت ربات‌های پایه و پیرو می‌شود، که شکل‌های ۱۵، ۱۶ و ۱۷ این مسئله را تأیید می‌کند.



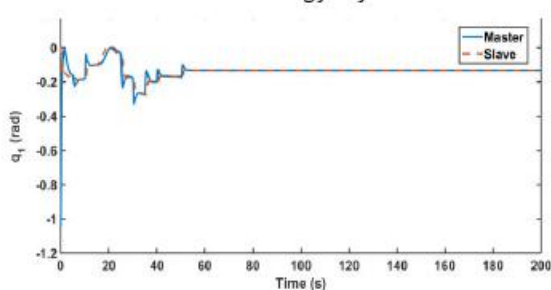
شکل ۱۲: موقعیت مفصل اول ربات‌های پایه و پیرو هنگام استفاده از کنترل کننده P+D



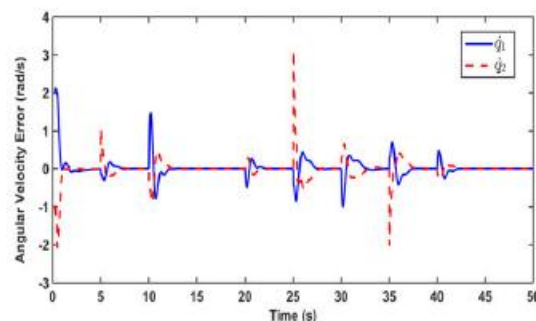
شکل ۱۳: موقعیت مفصل دوم ربات‌های پایه و پیرو هنگام استفاده از کنترل کننده P+D



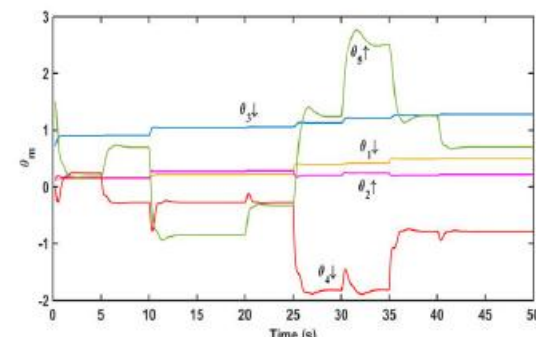
شکل ۱۴: خطای ریاضی موقعیت مفصل ربات‌های پایه و پیرو هنگام استفاده از کنترل کننده P+D



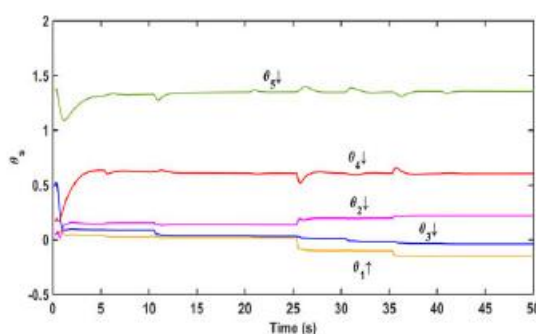
شکل ۱۵: موقعیت مفصل اول ربات‌های پایه و پیرو هنگام استفاده از کنترل کننده تطبیقی پیشنهادی



شکل ۸: خطای ریاضی سرعت زاویه‌ای مفاصل ربات‌های پایه و پیرو

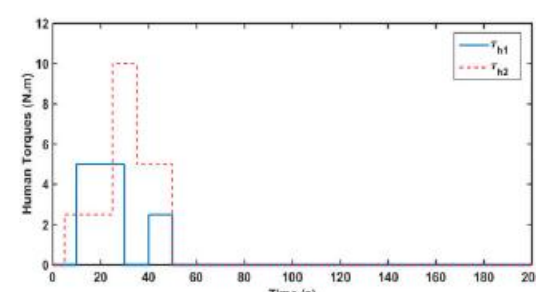


شکل ۹: تخمین پارامترهای ربات پایه



شکل ۱۰: تخمین پارامترهای ربات پیرو

برای نشان دادن مزیت کنترل کننده تطبیقی پیشنهادی در مقایسه با کنترل کننده P+D ارجانده در مرجع [۷]، شبیه‌سازی در حالتی که کاربر گشتاوری مطابق شکل ۱۱ به ربات پایه وارد می‌کند انجام شده است، که بهره‌های کنترل کننده P+D مربوطه نیز به صورت $K_{\text{III}}=1/3$ و $B_{\text{III}}=1/1$ برای کنترل کننده طرف پایه و $K_{\text{I}}=1/7$ و $B_{\text{I}}=2/1$ برای کنترل کننده طرف پیرو در نظر گرفته شده است.

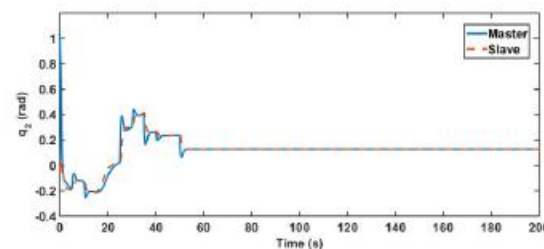


شکل ۱۱: گشتاور وارد شده از طرف کاربر بر ربات پایه

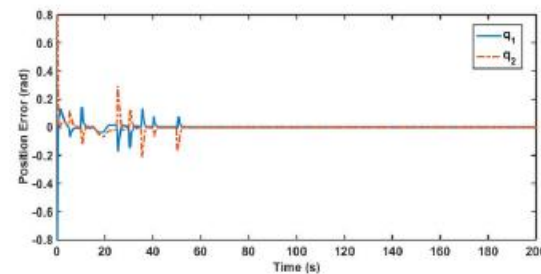
مراجع

- [1] P. F. Hokayem and M. W. Spong, "Bilateral Teleoperation: An Historical Survey," *Automatica*, vol. 42, no. 12, pp. 2035-2057, 2006.
- [2] R. J. Anderson and M. W. Spong, "Bilateral control of operators with time delay," *IEEE Transaction on Automatic Control*, vol. 34, pp. 494-501, 1989.
- [3] B. Hannaford, "A Design Framework for Teleoperators with Kinesthetic Feedback," *IEEE Transactions on Robotics and Automation*, vol. 5, no. 4, pp. 426-434, 1989.
- [4] B. Hannaford and R. J. Anderson, "Experimental and Simulation Studies of Hard Contact in Force Reflecting Teleoperation," *IEEE International Conference on Robotics and Automation*, pp. 584-589, 1988.
- [5] G. Niemeyer and J. J. Slotine, "Stable Adaptive Teleoperation," *IEEE Journal of Oceanic Engineering*, vol. 16, no. 1, pp. 152-162, 1991.
- [6] R. J. Anderson and M. W. Spong, "asymptotic stability for force reflecting teleoperators with time delay," *International Journal of Robotics Research*, vol. 11, no. 2, pp. 135-149, 1992.
- [7] E. Nuno, R. Ortega, N. Barabanov and L. Basañez, "A globally stable PD controller for bilateral teleoperators," *IEEE Transactions on Robotics*, vol. 24, pp. 753-758, 2008.
- [8] N. Chopra, M. W. Spong and R. Lozano, "Synchronization of bilateral teleoperators with time delay," *Automatica*, vol. 44, pp. 2142-2148, 2008.
- [9] X. Liu, R. Tao and M. Tavakoli, "Adaptive control of uncertain nonlinear teleoperation systems," *Mechatronics*, vol. 24, no. 1, pp. 66-78, 2014.
- [10] M. J. Beelen, G. J. L. Naus, M. G. J. Molengraft and M. Steinbuch, "Force feedback control design for nonideal teleoperators," *Control Engineering Practice*, vol. 21, no. 12, pp. 1694-1705, 2013.
- [11] E. Nuñó, R. Ortega and L. Basañez, "An adaptive controller for nonlinear teleoperators," *Automatica*, vol. 46, pp. 155-159, 2010.
- [12] R. Kelly, V. S. Davila and J. A. L. Perez, *Control of robot manipulators in joint space*, Springer Science & Business Media, 2006.

زیرنویس‌ها

^۱ Teleoperation System^۲ Master^۳ Slave^۴ Passivity^۵ Free Motion^۶ Lyapunov-Krasovskii^۷ Barbalat Lemma^۸ Kronecker Product

شکل ۱۶: موقعیت مفصل دوم ربات‌های پایه و پیرو هنگام استفاده از کنترل کننده تطبیقی پیشنهادی



شکل ۱۷: خطای ریدیابی موقعیت مفاسل ربات‌های پایه و پیرو هنگام استفاده از کنترل کننده تطبیقی پیشنهادی

۶- نتیجه‌گیری

در این مقاله نشان داده شده است که کنترل کننده تطبیقی به کاررفته علاوه بر اینکه نیازی به دانستن مشخصات دقیق فیزیکی ربات‌های پایه و پیرو ندارد، حتی در حالت نامعین یومن شتاب گرانشی در طرف پیرو نیز قادر به سنکرون‌سازی سرعت و حالت ربات‌های پایه و پیرو است. که شبیه‌سازی‌های صورت‌گرفته، کارایی روش تحلیلی پیشنهادی را تأیید می‌کند.

پیوست‌ها

اثبات رابطه (۳)

$$G(\mathbf{q}) = \frac{\partial}{\partial \mathbf{q}} U(\mathbf{q}, g) = \frac{\partial}{\partial \mathbf{q}} g U_0(\mathbf{q}) = g \frac{\partial}{\partial \mathbf{q}} U_0(\mathbf{q}) = g G_0(g) \quad (27)$$

که در آن $U(\mathbf{q}, g)$ تابع پتانسیل گرانشی است.

ضرب کروناکر

بر اساس تعریف، ضرب کروناکر دو ماتریس به صورت زیر است.

$$\mathbf{C}_{mp \times nq} = \mathbf{A}_{m \times n} \otimes \mathbf{B}_{p \times q} = \begin{bmatrix} a_{11}\mathbf{B} & \dots & a_{1n}\mathbf{B} \\ \vdots & \ddots & \vdots \\ a_{m1}\mathbf{B} & \dots & a_{mn}\mathbf{B} \end{bmatrix}_{mp \times nq} \quad (28)$$

و دارای خواص زیر است.

$$(\mathbf{A} \otimes \mathbf{B})^{-1} = \mathbf{A}^{-1} \otimes \mathbf{B}^{-1} \quad (29)$$

$$(\mathbf{A} \otimes \mathbf{B})(\mathbf{C} \otimes \mathbf{D}) = \mathbf{AC} \otimes \mathbf{BD}$$

لم باربالات

بر اساس لم باربالات، سیگنال $x(t) \in L_2$ که $\dot{x}(t) \in L_2$ و $\dot{x}(t) \in L_\infty$ باشد، آنگاه سیگنال $x(t)$ به صورت مجذبی به صفر همگرا می‌شود ($|x(t)| \rightarrow 0$).